

CALiD
CENTRE D'ANALYSE EN LUTTE
INFORMATIQUE DÉFENSIVE



DÉTECTION D'ANOMALIES POUR L'AIDE AU HUNTING

C&ESAR 2018



Contexte



- Activité de hunting
- Grande quantité de journaux applicatifs

Objectifs



- Aider l'analyste pour **prioriser** les investigations
- Déterminer les éléments les **plus anormaux** dans la population
- Donner les **raisons** de la suspicion

Méthodologie

- Analyse des **formats** de log disponibles
- Définition des **Entités** à qualifier
 - Machines, utilisateurs, flux, ...
 - ... sur une **période temporelle**
- **Caractérisation** de ces Entités
 - Métriques calculées par entité et par période
- **Identification** des anomalies
 - vecteurs de métriques = entrée des algorithmes d'apprentissage

Cas d'usage

- Format = journaux de proxy d'accès à Internet
- Entité = machine interne identifiée par son adresse IP
- Période temporelle = 6h
- Algorithmes = Auto-encodeur et Forêt d'isolation
- Métriques = > 30

Exemples de métriques

- Nombre de connexions HTTP utilisant la méthode POST
- Nombre de pics de connexions HTTP utilisant la méthode POST
- Nombre d'octets échangés
- Nombre de pics d'octets échangés
- Nombre de connexions pour laquelle l'URL a une longueur relativement grande ou basse
- Nombre de requêtes vers des domaines sur liste noire
- Nombre de chaînes user-agents différentes

Principe

- Algorithmes de détection d'anomalies **non-supervisés**
 - Calcul d'un score d'anomalie **pour chaque entité** par période temporelle
- **Combinaison** des scores d'anomalies de chaque algorithme
 - Obtention d'un **score global**
- Présentation des entités par score décroissant

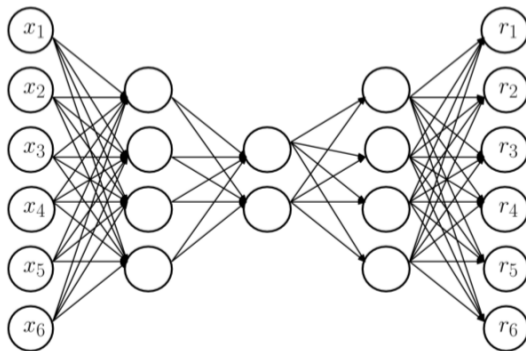
Algorithmes utilisés

- Auto-encodeur
 - Réseau de neurones

- Forêt d'isolation
 - Algorithme de partitionnement

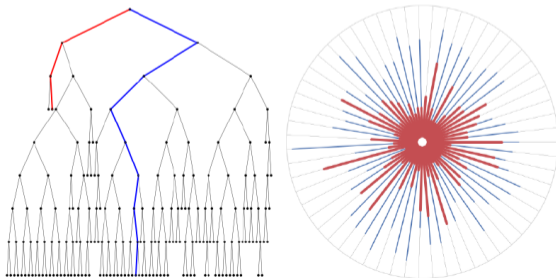
Auto-encodeur

- Apprentissage d'une fonction d'identité
- Fonction de transfert ReLu
- Score d'anormalité = erreur de reconstruction

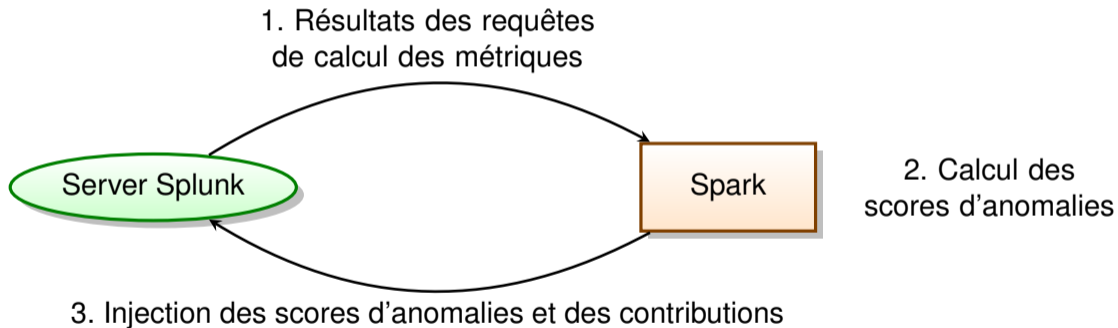


Forêt d'isolation

- Hypothèse : les anomalies sont rares et différentes
- Construction d'arbres binaires aléatoires
- Les anomalies ont une plus forte probabilité d'être isolées rapidement
- Leur distance à la racine de l'arbre est plus faible



Architecture



Performances à évaluer

- Temps de calcul
- Détection de comportements malveillants
- Analyse des faux positifs

Temps de calcul

- Performances de calcul raisonnables
 - Calcul des métriques : 15min
 - Calcul des scores : 10min

Performances de détection

- Comment maîtriser le nombre de faux négatifs ?
- En contrôlant les comportements malveillants présents
 - Injection de traces synthétiques de comportements malveillants
 - Maîtrise des valeurs de champs et de l'aspect temporel
 - 9 scénarios malveillants générés

Scénarios générés

- Activités d'un malware
 - Téléchargements initiaux
 - Contact de serveurs C&C
- Communications avec des domaines DGA
- Saturation d'un serveur externe
 - POST Flood
 - Téléchargement répétitif
- Exfiltration de données
 - via un domaine unique
 - via des domaines DGA
 - via un service WEB connu

Résultats

- Hypothèse : Seulement 5 entités peuvent être analysées par période

| Comportement malveillant | Visible pour l'analyste | Meilleur rang (Moyenne) | Rang de référence (Moyenne) |
|--------------------------|-------------------------|-------------------------|-----------------------------|
| coms-dga | ✓ | 1,6 | 7004 |
| url-exfilt | ✓ | 2,3 | 14933 |
| post-flood | ✓ | 2,7 | 1612 |
| dga-exfilt | ✓ | 2,8 | 10288 |
| post-flood-2 | ✓ | 3,5 | 22194 |
| pdf-downl | ✓ | 3,6 | 11588 |
| url-exfilt-2 | ✗ | 13,8 | 6712 |
| malw-cc | ✗ | 28,6 | 10214 |
| fb-exfilt | ✗ | 406,7 | 15990 |

Tableau de bord

[ML] TOP 50 des adresses IP anormales

Modifier Exporter ...

Période: Les 2 derniers mois Date: 2018-08-13 X

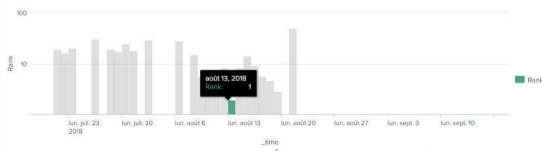
Masquer les filtres

Top 50

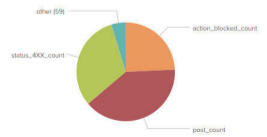
| Date ↕ | Position ↕ | Adresse IP ↕ | Investiguer ↕ | iforest_anomalyProbability ↕ | iforest_score ↕ | rnn_anomalyProbability ↕ | rnn_score ↕ |
|------------|------------|--------------|---------------|------------------------------|--------------------|--------------------------|--------------------|
| 2018-08-13 | 1 | 192.168.1.1 | 00 | 0.5296 | 0.5883473688300287 | 1.0000 | 350.07038899408116 |
| 2018-08-13 | 2 | 192.168.1.2 | 00 | 0.5219 | 0.5850121636276745 | 0.6680 | 233.84211322653726 |
| 2018-08-13 | 3 | 192.168.1.3 | 00 | 0.7717 | 0.6936883149880047 | 0.5642 | 197.5095508635987 |
| 2018-08-13 | 4 | 192.168.1.4 | 00 | 0.8538 | 0.7293645902851391 | 0.5610 | 196.41547534276535 |
| 2018-08-13 | 5 | 192.168.1.5 | 00 | 0.9692 | 0.7795926307895891 | 0.5580 | 195.34062268377411 |
| 2018-08-13 | 6 | 192.168.1.6 | 00 | 0.3558 | 0.5127693797459059 | 0.5073 | 177.59108526601096 |
| 2018-08-13 | 7 | 192.168.1.7 | 00 | 0.9826 | 0.7854163540498413 | 0.4888 | 171.1429972725899 |
| 2018-08-13 | 8 | 192.168.1.8 | 00 | 0.7485 | 0.6835832742538677 | 0.4673 | 163.6106336486864 |
| 2018-08-13 | 9 | 192.168.1.9 | 00 | 0.3860 | 0.525881016984978 | 0.4648 | 162.72310966294077 |
| 2018-08-13 | 10 | 192.168.1.10 | 00 | 0.9609 | 0.7795956190678513 | 0.4320 | 151.2468212857478 |

← préc 1 2 3 4 5 suite →

Rang sur la période



Feature contribution



Quelques faux positifs expliqués

| Métrique explicative | Comportement anormal constaté |
|--|---|
| Nombre de type "video" élevé | Onglet resté ouvert la nuit avec un flux vidéo en boucle. |
| Taux d'exceptions élevé | Synchronisation de boîte mail externe avec un problème d'authentification |
| Nombre de "POST" de type "application" | Participation à une conférence sur plusieurs jours |

Synthèse

- Expérimentation d'algorithmes de détection d'anomalies pour l'aide au Hunting
- Les anomalies et comportements anormaux bruyants sont détectés

Perspectives

- Injection de comportements malveillants plus fins
- Modification des hyper-paramètres
- Autres algorithmes (KNN)

- Active learning
 - Association avec un classifieur supervisé ([AI2])
 - Active Anomaly Discovery
- Sélection des métriques
 - Génération de règles pour aider l'analyste
- Série temporelle
 - Approche minimaliste
 - Détection d'anomalies dans la dynamique temporelle